

Tag der Hydrologie 2025

Christian-Albrechts-Universität zu Kiel

Session A - Modellierung von Landmanagement und Klimawandel 20.03.2025

# Modellbasierte Evaluierung von Maßnahmen zur Steigerung der Dürreresilienz des Landschaftswasserhaushalts

Sven Grantz, Paul Wagner, Jens Kiesel & Nicola Fohrer





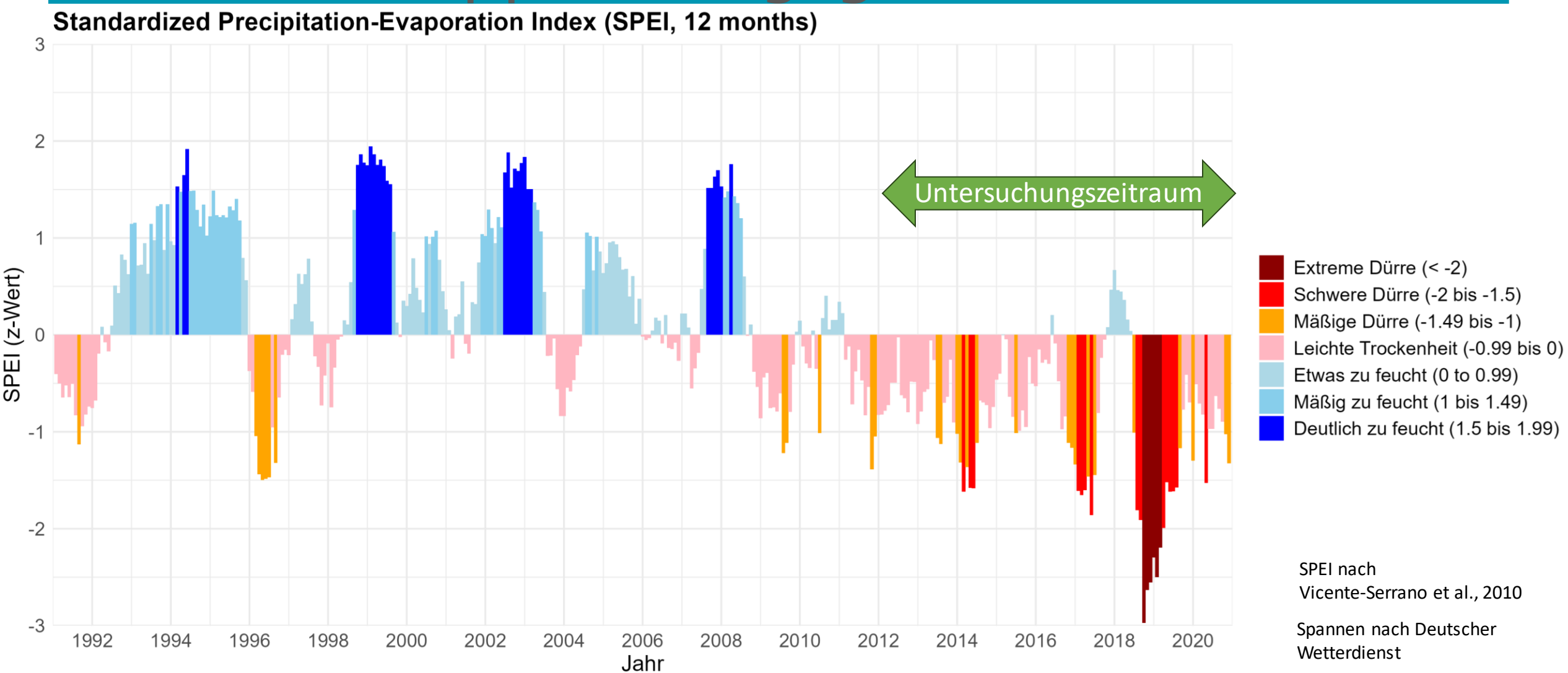








#### Entwicklung der klimatischen Wasserbilanz im oberen Lippeeinzugsgebiet





#### Auswirkungen von Dürren

#### Reduzierung land- und forstwirtschaftlicher Erträge



Vertrockneter Mais, 2018



Schäden im Haarener Wald, 2025

Drohende Versorgungsengpässe



Niedriger Wasserstand Talsperre Hullern, 2019

#### Degradierung von Ökosystemleistungen



Trockengefallener Rotbach in Dinslaken, 2022



#### Auswirkungen von Dürren

Reduzierung land- und forstwirtschaftlicher Erträge

Degradierung von Ökosystemleistungen



Das Ausmaß, in dem ein hydrologisches System die Wasserbedürfnisse der von ihm abhängigen wirtschaftlichen, sozialen und ökologischen Systeme in Perioden knapper Wasserverfügbarkeit in ausreichendem Maße deckt, um deren Systemfunktionen aufrecht zu erhalten.

Landesbetrieb Wald und Holz NRW

Schäden im Haarener Wald, 2025

raisperre nullerii, 2019

Trockengefallener Rotbach in Dinslaken, 2022

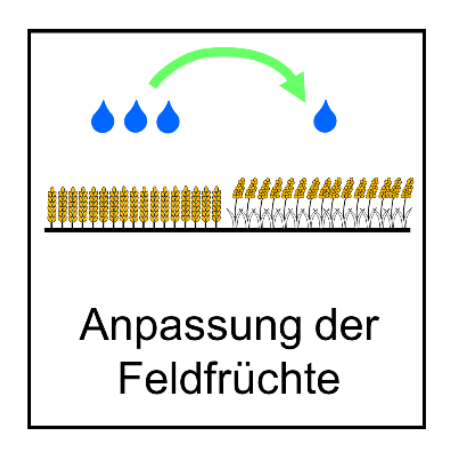


#### Definition: Dürreresilienz

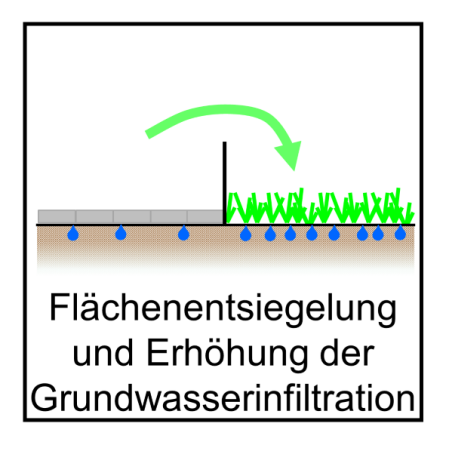
- Das Ausmaß, in dem ein hydrologisches System die
- Deckung der Wasserbedürfnisse der von ihm abhängigen wirtschaftlichen, sozialen und ökologischen Systeme
- in Perioden knapper Wasserverfügbarkeit in ausreichendem Maße deckt, um deren Systemfunktionen aufrecht zu erhalten.



## Wird der Landschaftswasserhaushalt durch eine angepasste Landbedeckung dürreresilienter?







Steigt die Wasserretention in den angepassten Flächen? Verbessert sich der Bodenwasserhaushalt?

Ökohydrologische Modellierung der angepassten Flächen



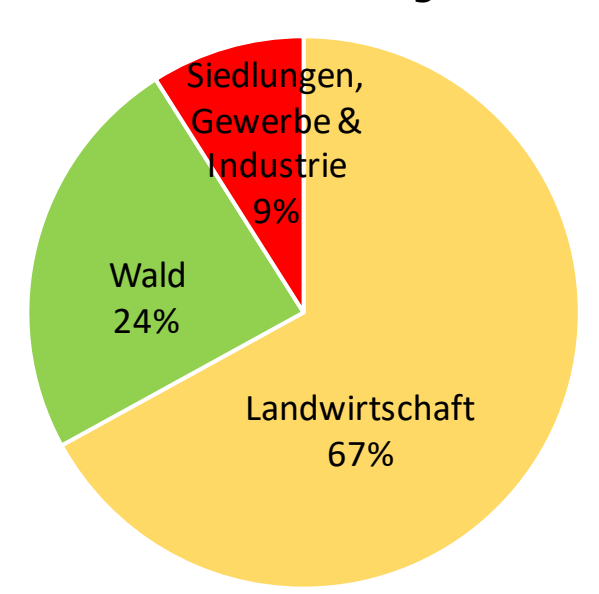


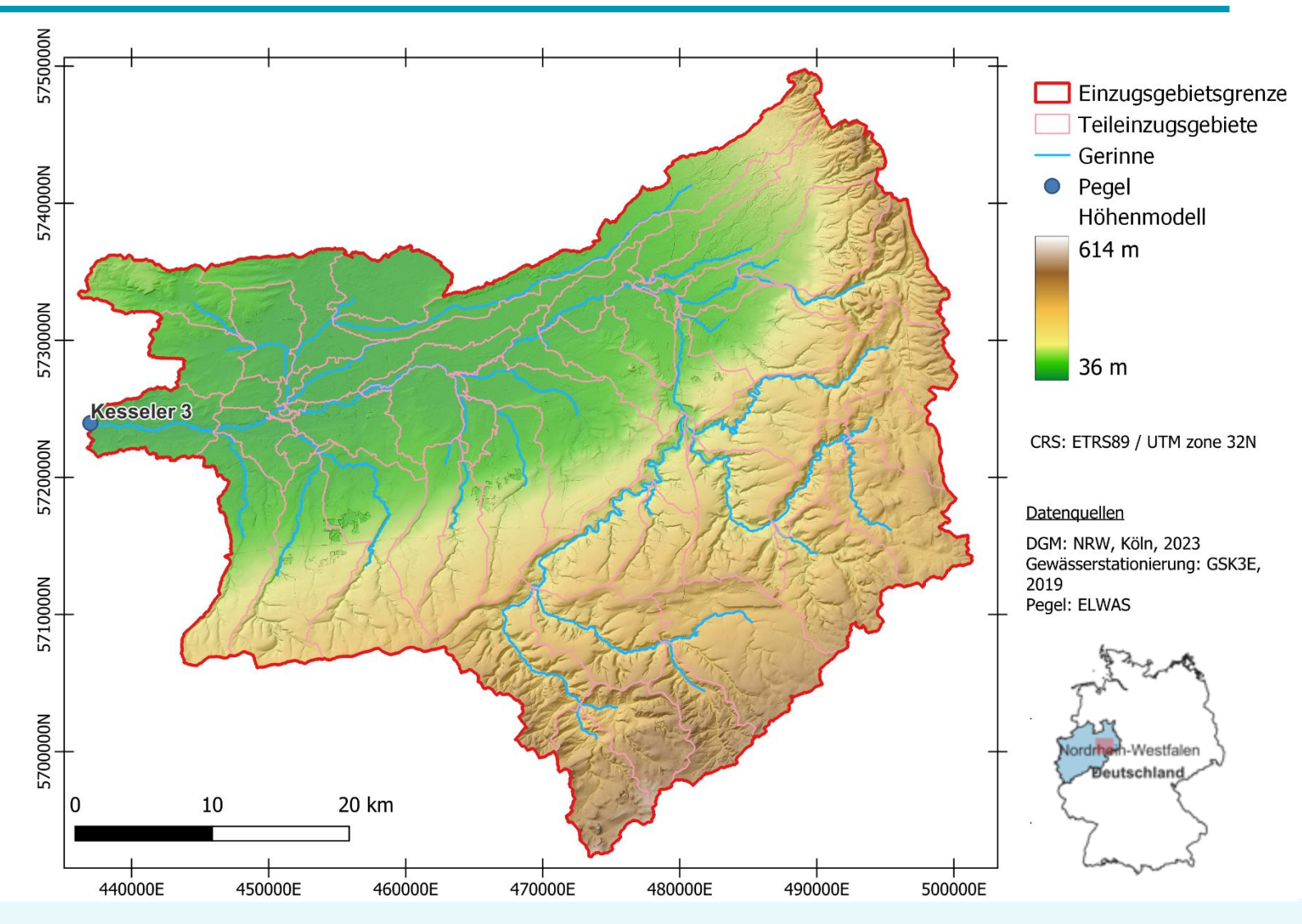
#### Das obere Einzugsgebiet der Lippe

Fläche: 1,983 km<sup>2</sup>

Abfluss (MQ) Kesseler 3: 22 m<sup>3</sup>s<sup>-1</sup> (1991-2020)

#### Landnutzung:







#### Anpassung auf Agrarflächen

Anpassung der Feldfrüchte

Modellierte Maßnahme Anbau von Hirse

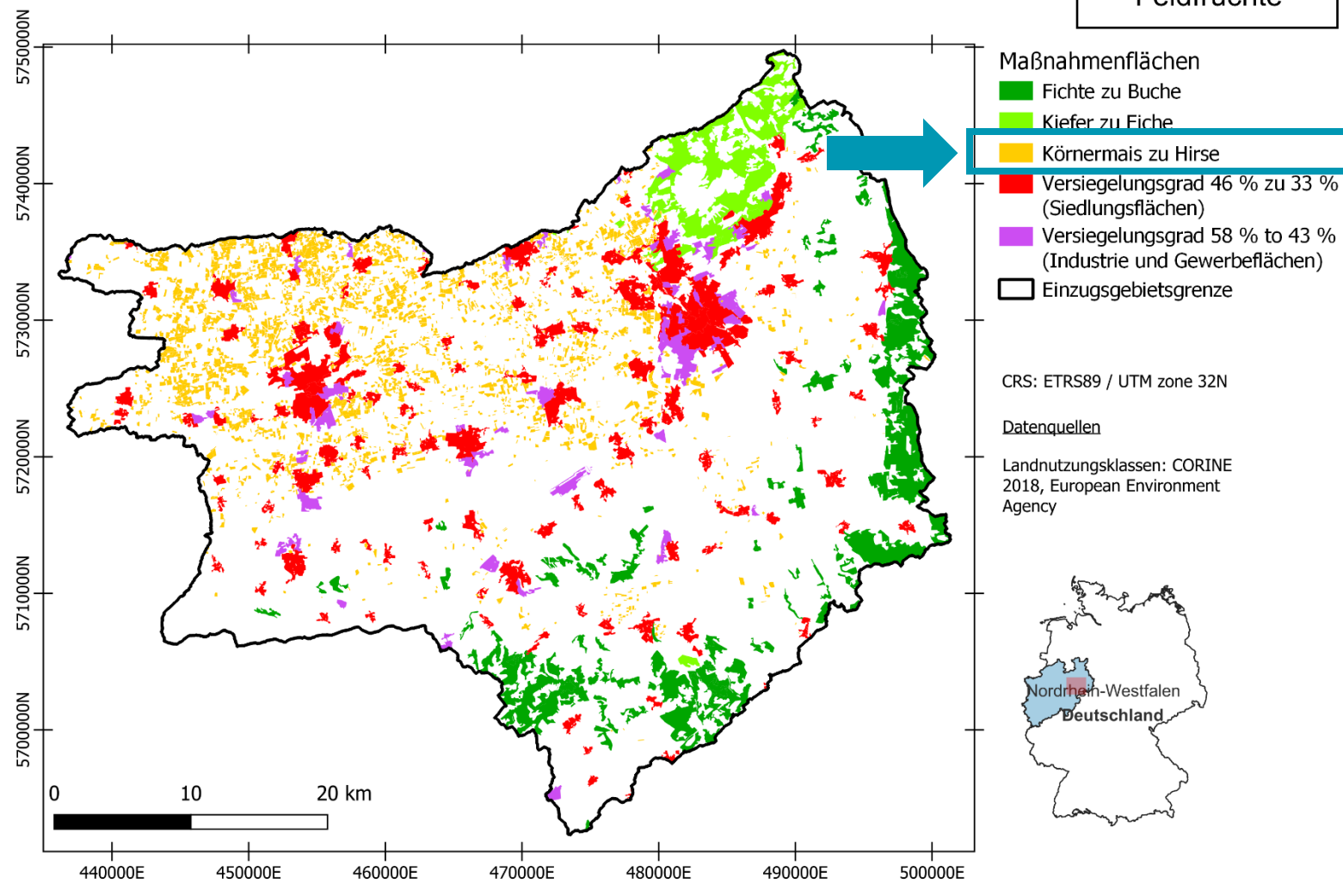
anstelle von Körnermais

Fläche 94.6 km<sup>2</sup>

Flächenanteil 6 %

#### Modellparametrisierung

- Parzellengenaue Landnutzungskarte auf Grundlage der InVeKoS-Datenbank von 2016-2022
- Regionalisierung von Landbewirtschaftungsparametern





#### Anpassung auf Waldflächen

Landnutzungsänderung Nadel- zu Laubwald

Modellierte Änderung der

Maßnahme dominanten Baumarten

von

Fichte zu Buche und

Kiefer zu Eiche

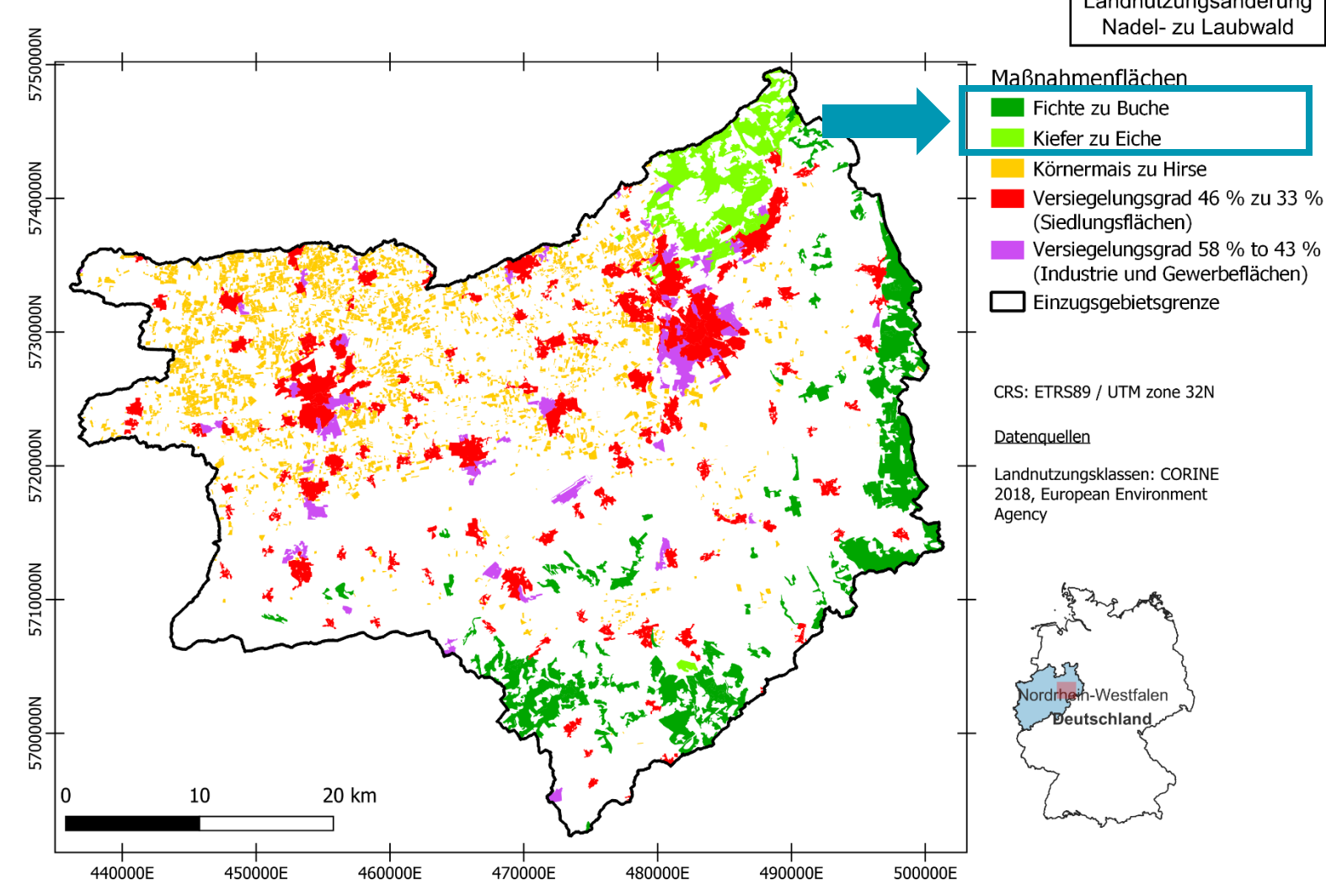
**Fläche** Fichte: 125 km<sup>2</sup>

Kiefer: 49 km<sup>2</sup>

Flächenanteil 9 %

#### Modellparametrisierung

- Dominante Baumarten entspr. Thünen Waldatlas (Blickensdörfer et al., 2024)
- Angepasste Baumparameter (Müller, 2022)





#### Anpassung auf bebauten Flächen

Flächenentsiegelung und Erhöhung der Grundwasserinfiltration

**Modellierte** Reduktion des

Maßnahme Versiegelungsgrads in

Siedlungen: - 13 pp

Industrie- und

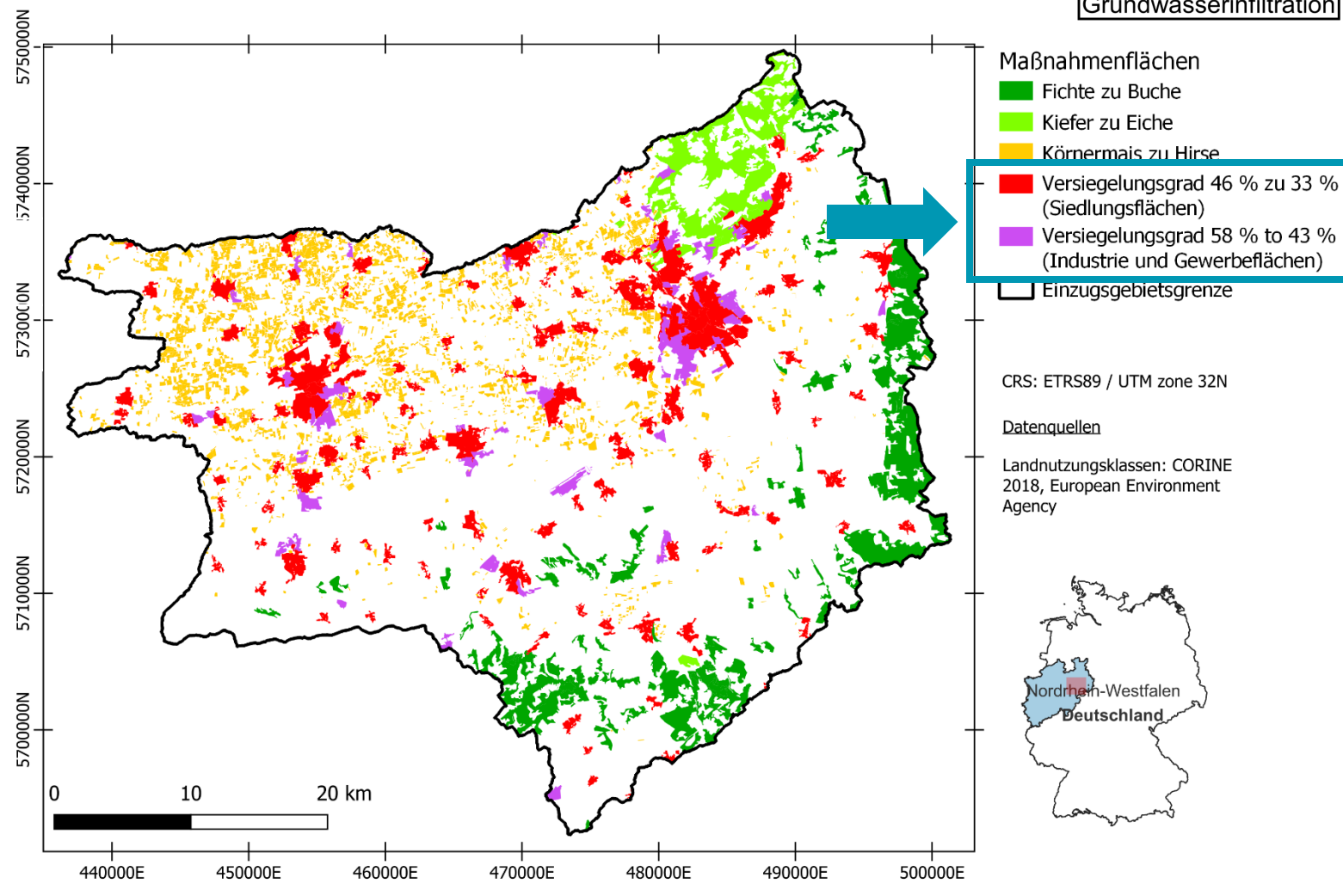
Gewerbeflächen: - 15 pp

Fläche 181 km<sup>2</sup>

Flächenanteil 9 %

#### Modellparametrisierung

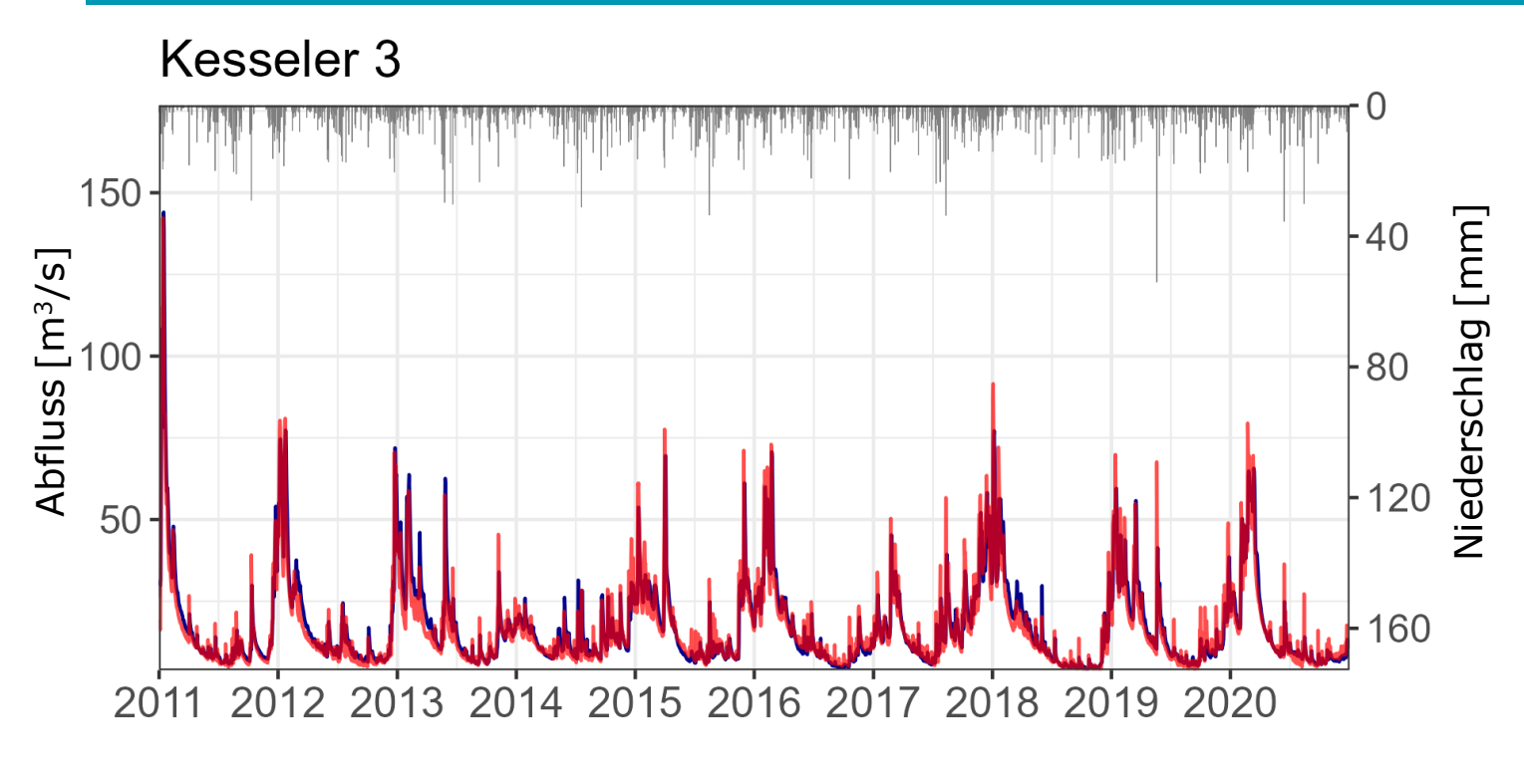
Regionalisierter Versiegelungsgrad n. 10 m Raster 2018 der European Environment Agency (EEA, 2020)





#### Modellkalibrierung und -güte



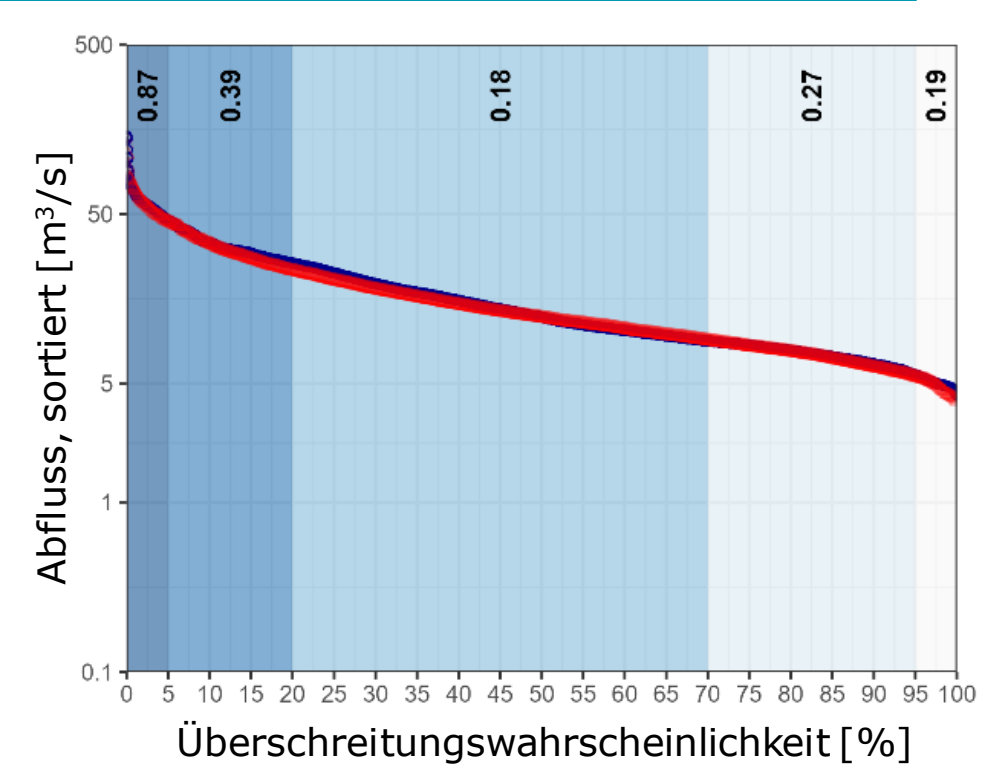


Modelliert — Beobachtet

Prozentuale Abweichung (PBIAS): -3.4

Kling-Gupta-Effizienz (modifiziert 2012): 0.90

Nash-Sutcliffe Effizienz: 0.83



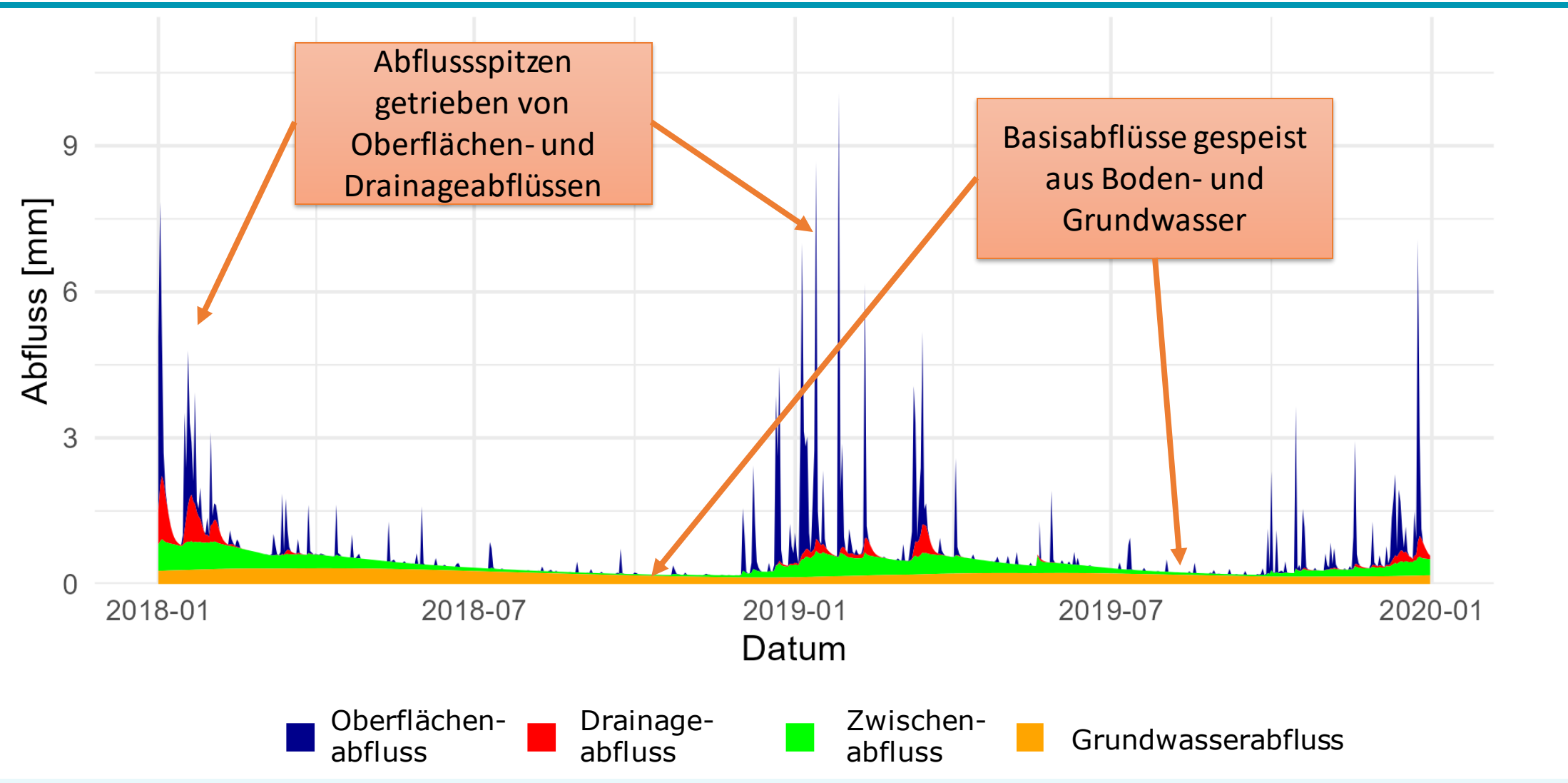
Abflussdauerlinie (log. Skala) mit Angabe der Wurzel aus dem mittleren quadratischen Fehler in den Segmenten Segmentierung der Abflussdauerlinie nach

Pfannerstill et al. 2014

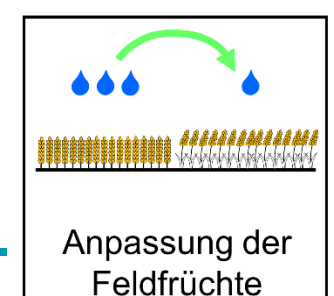


#### Dynamik der Abflusskomponenten







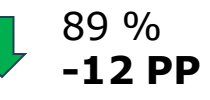


Veränderung des Anteils der Wasserbilanzkomponenten am Niederschlag 2011 - 2020

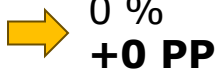
Niederschlag



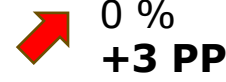
**Evapotranspiration** 



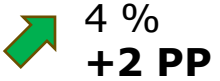
**Oberflächenabfluss** 

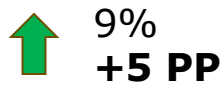


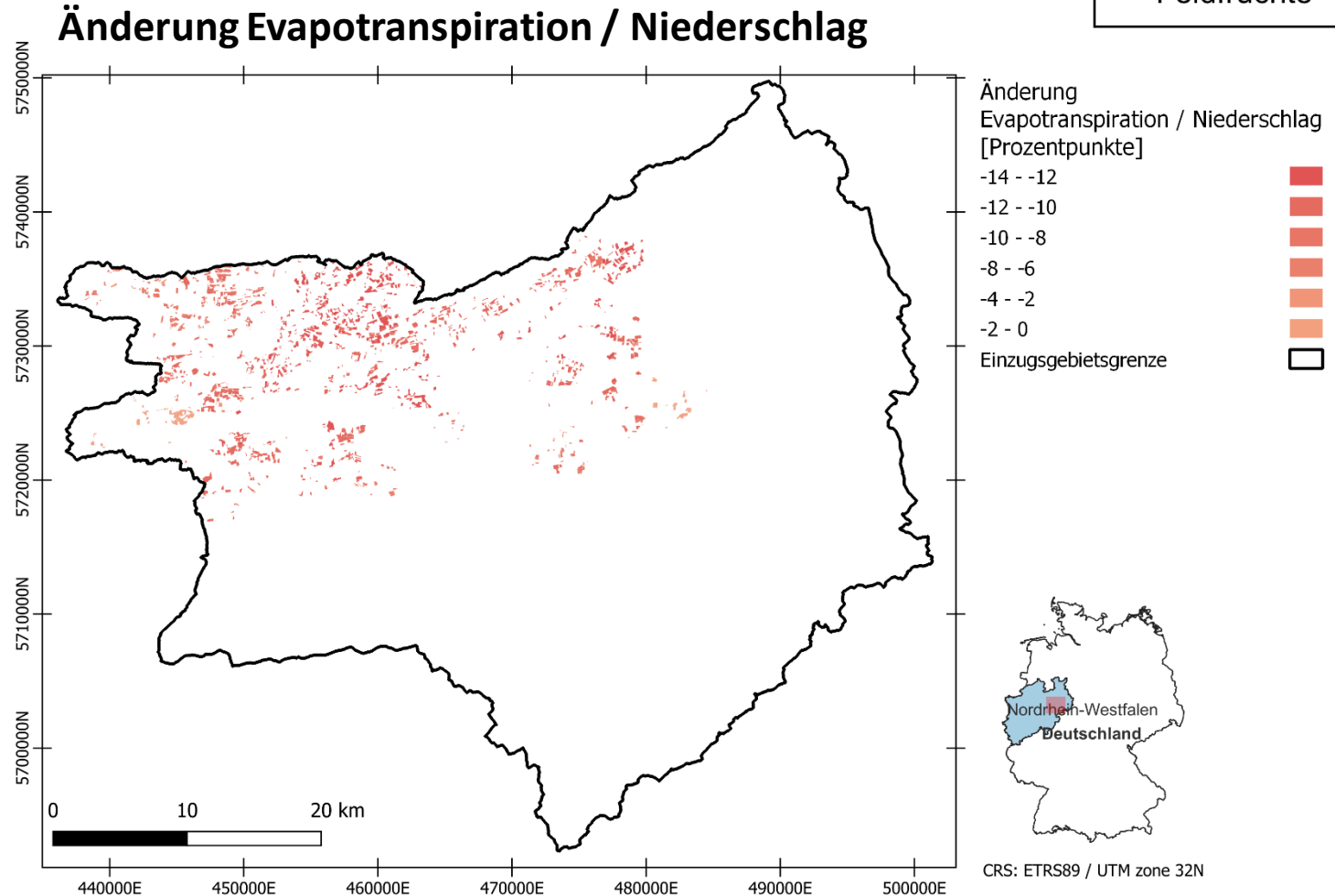
**Drainageabfluss** 



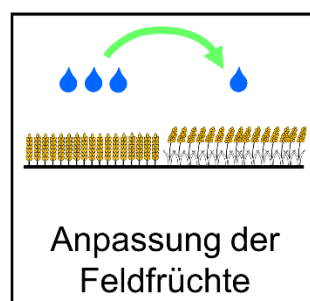
**Lateraler Abfluss** 

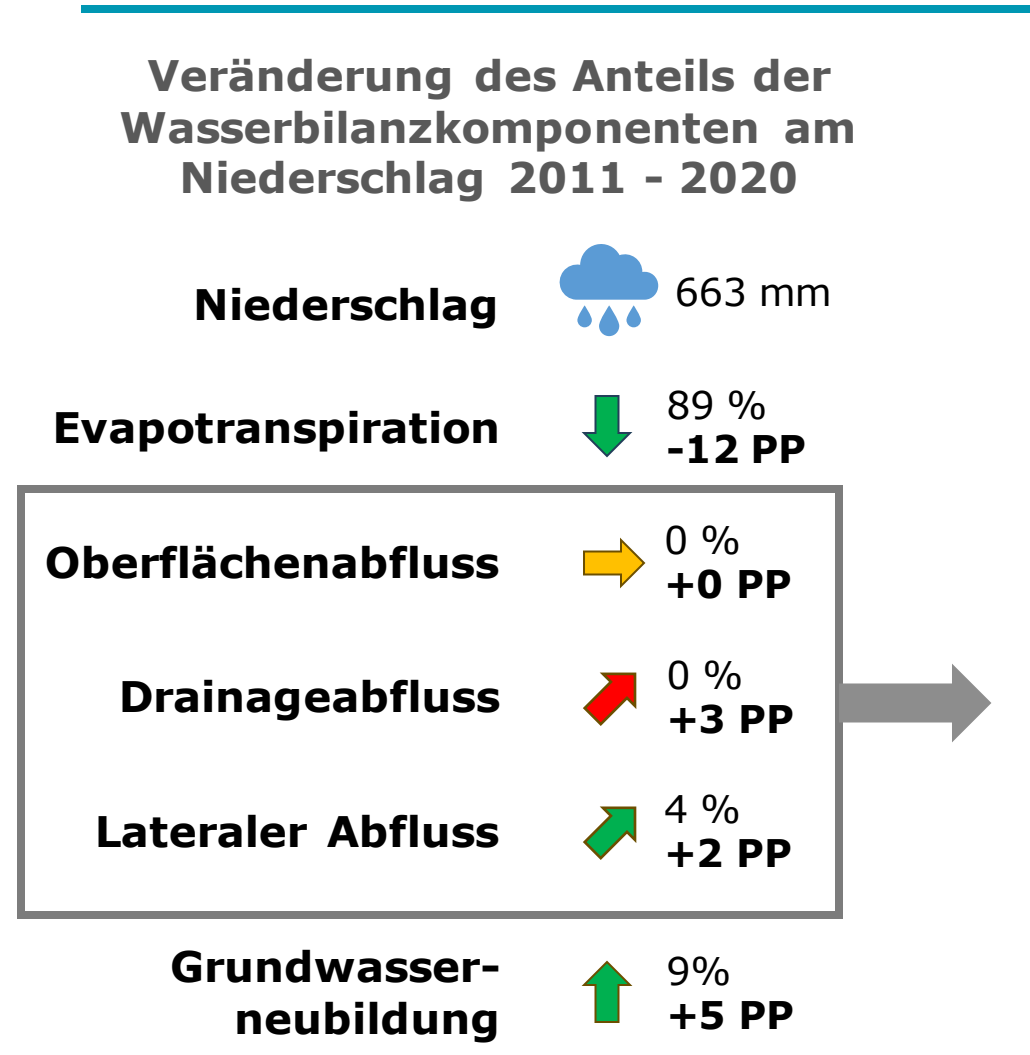


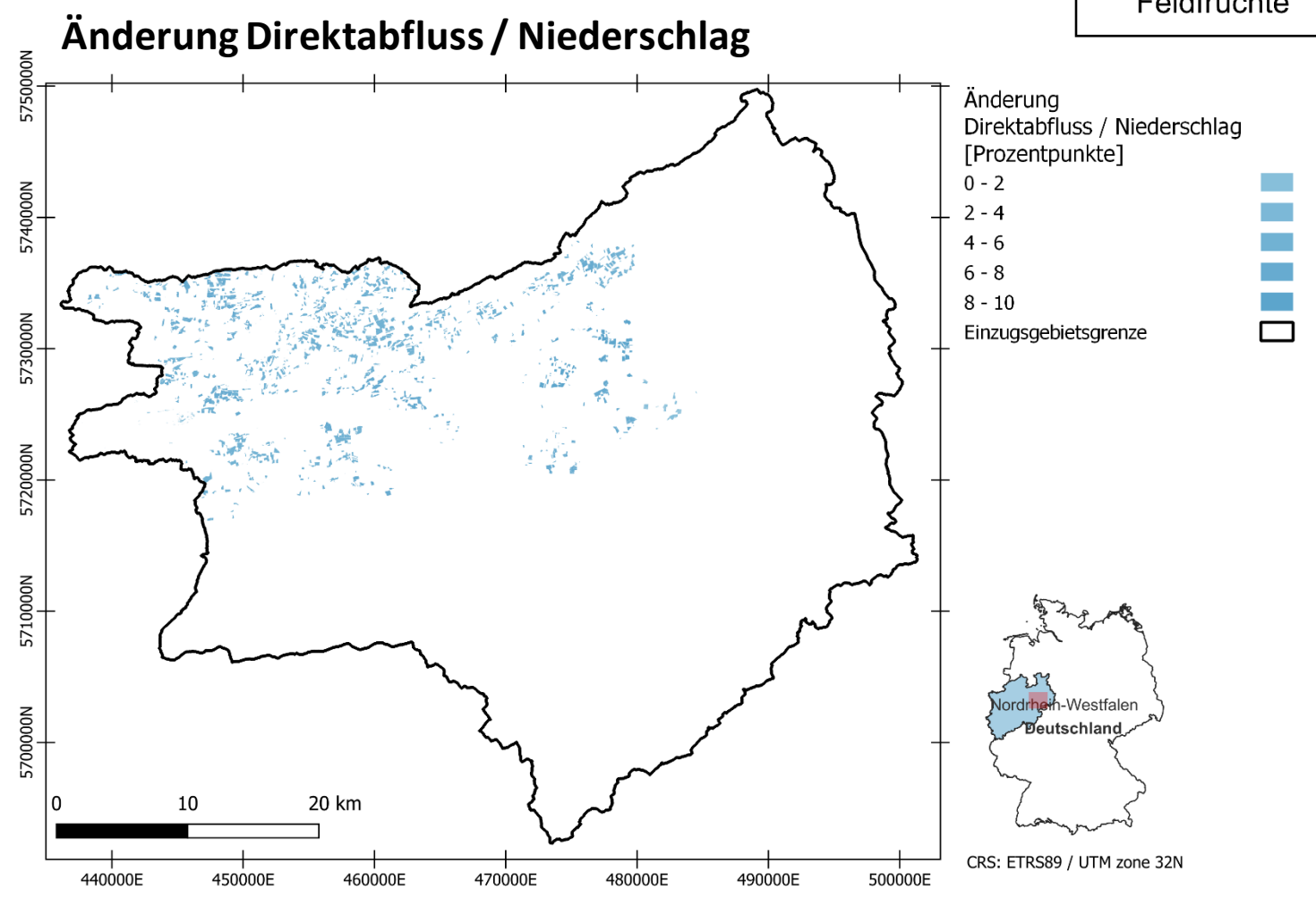




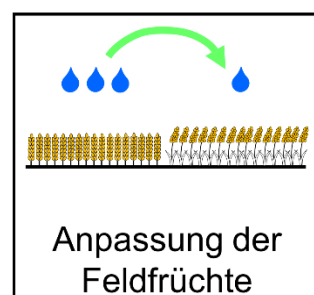










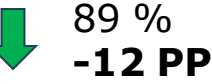


Veränderung des Anteils der Wasserbilanzkomponenten am Niederschlag 2011 - 2020

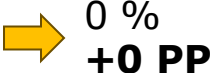
Niederschlag



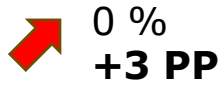
**Evapotranspiration** 



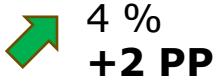
**Oberflächenabfluss** 

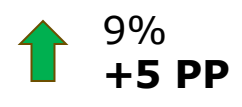


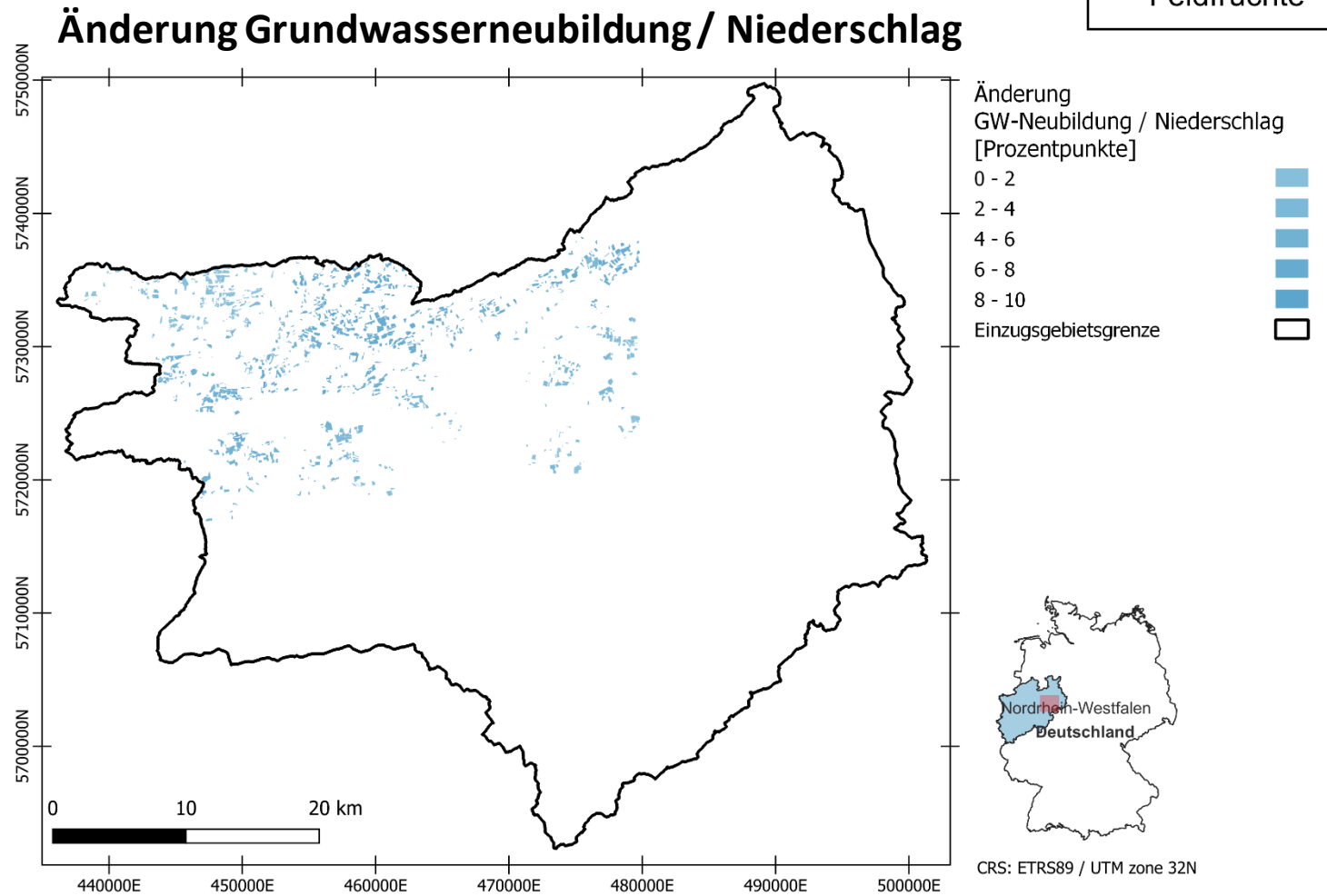
**Drainageabfluss** 



**Lateraler Abfluss** 

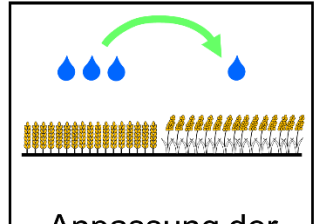


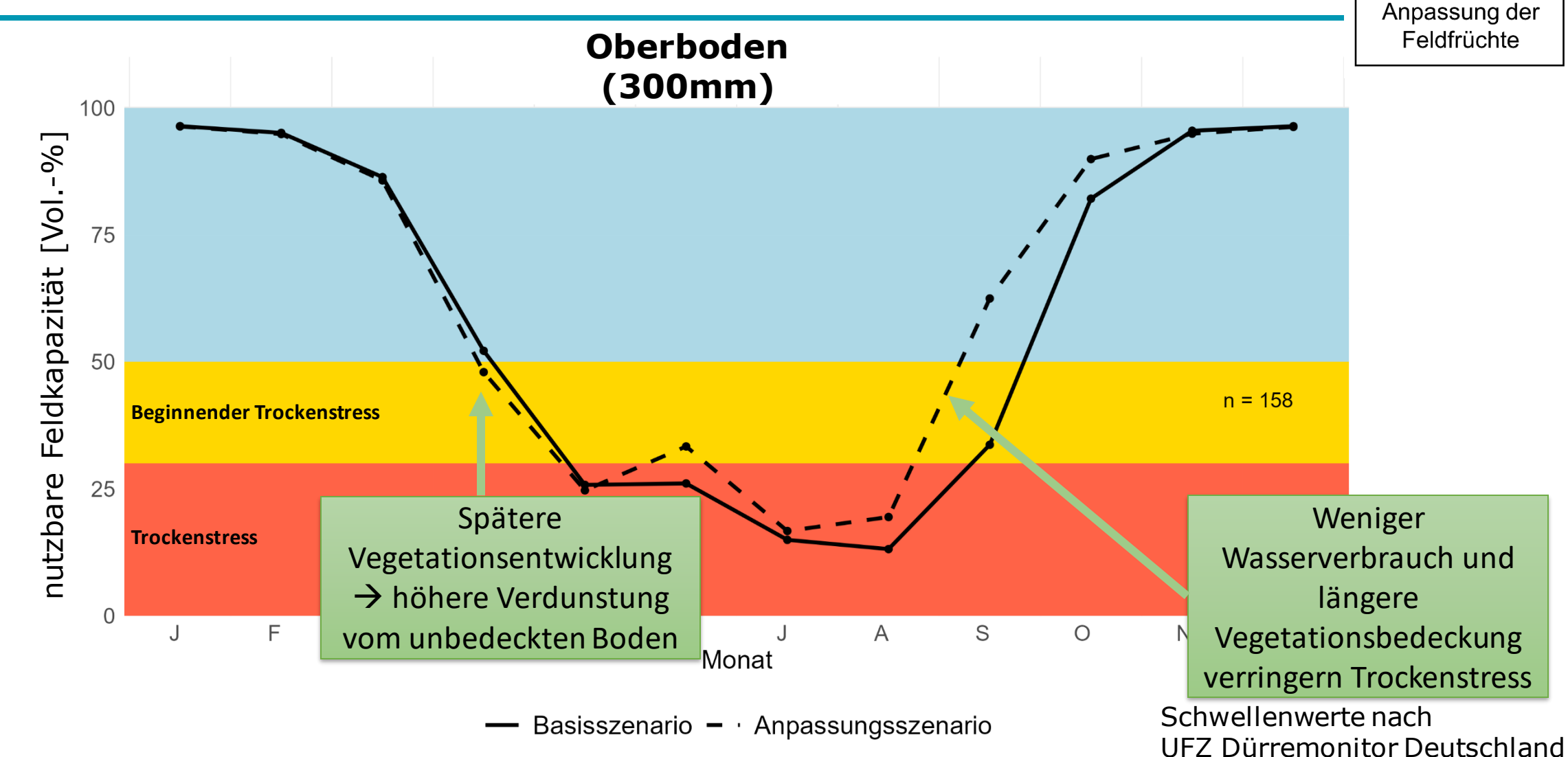






#### Änderungen des Bodenwassergehalts







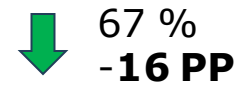


Veränderung des Anteils der Wasserbilanzkomponenten am Niederschlag 2011 - 2020

Niederschlag



**Evapotranspiration** 

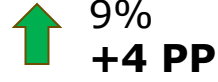


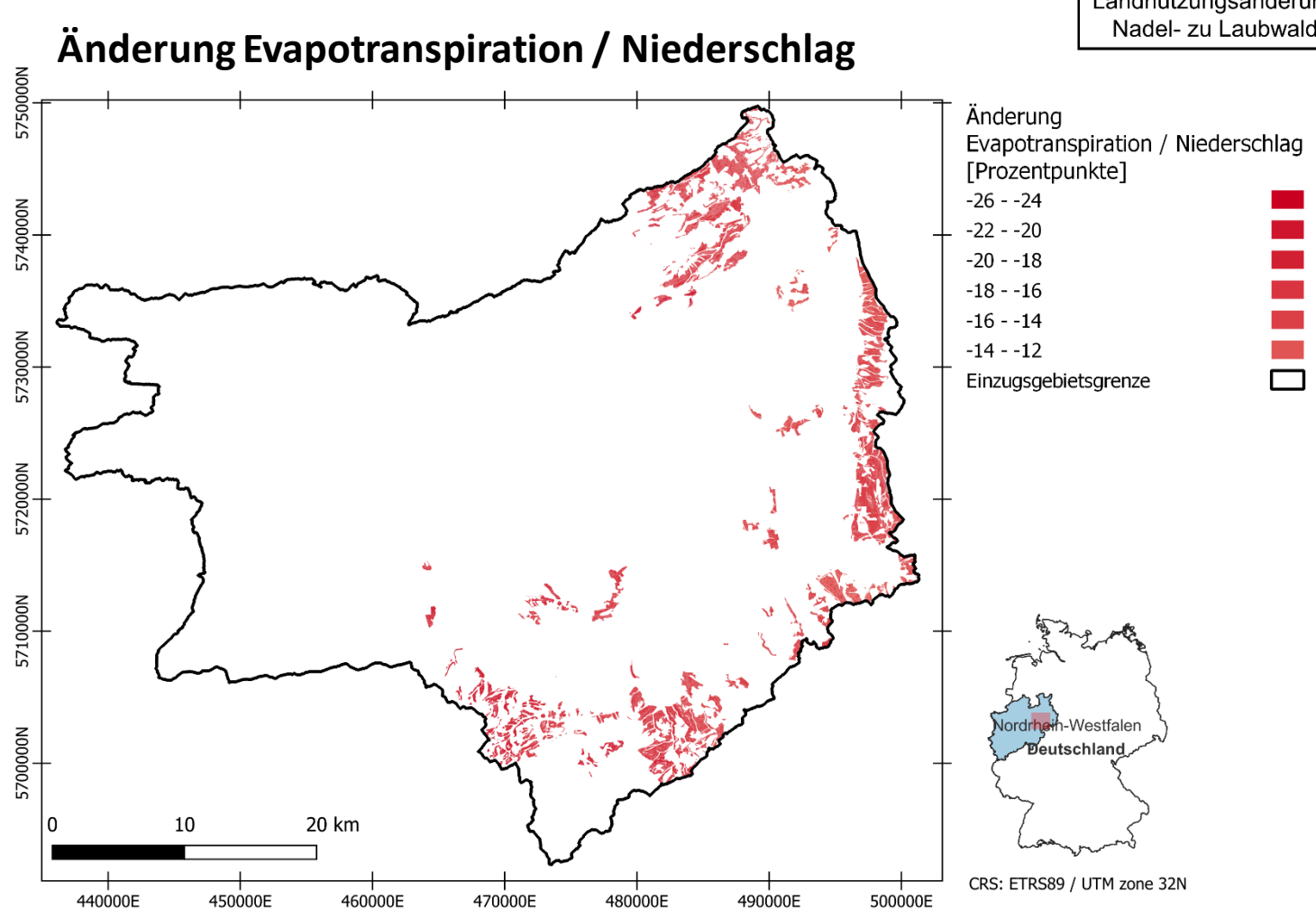
**Oberflächenabfluss** 

→ +0 PI

**Lateraler Abfluss** 

+9 PI







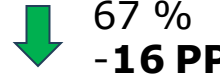


Veränderung des Anteils der Wasserbilanzkomponenten am Niederschlag 2011 - 2020

Niederschlag

839 mm

**Evapotranspiration** 



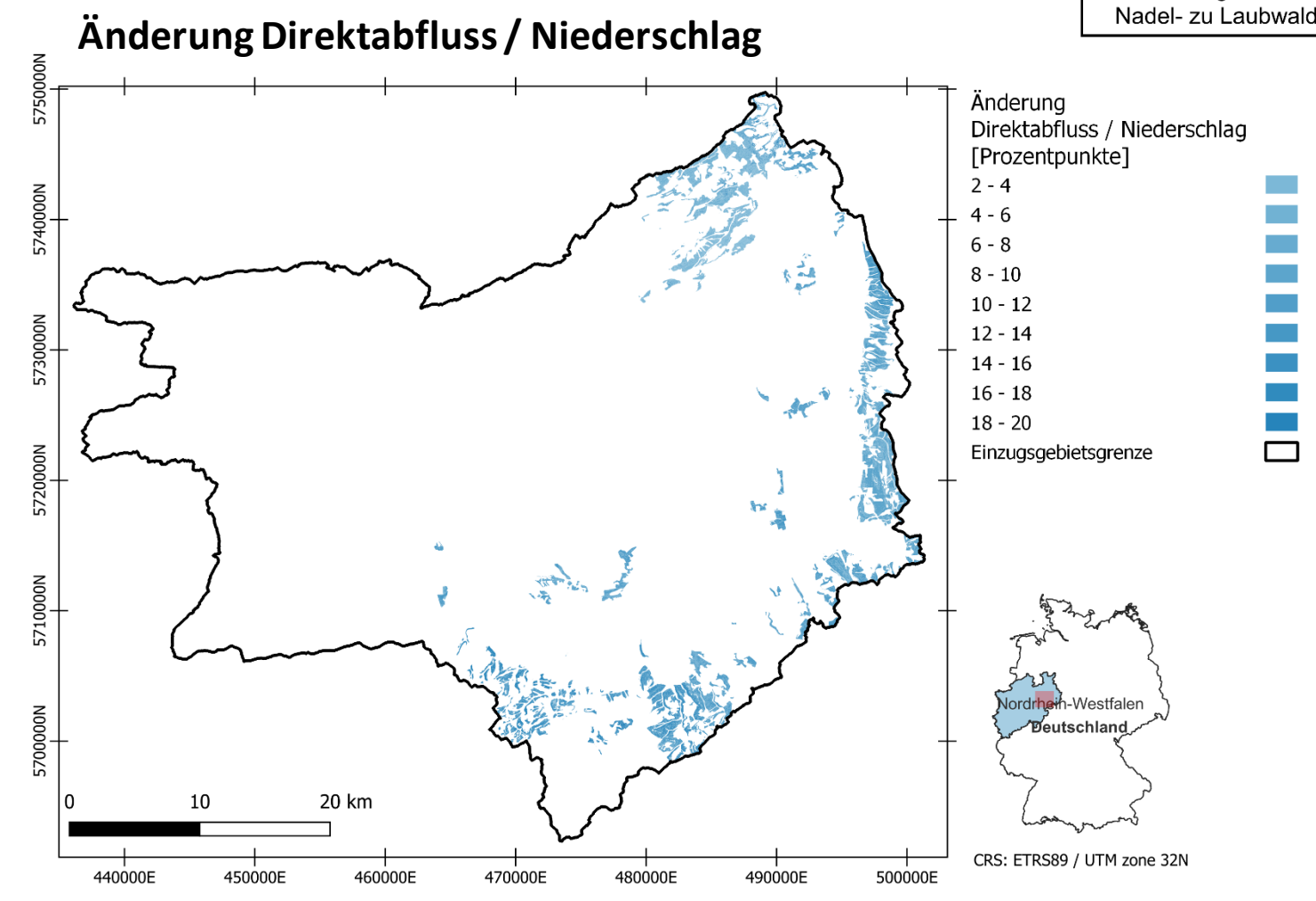
Oberflächenabfluss

+0 PP

**Lateraler Abfluss** 









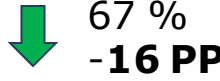


Veränderung des Anteils der Wasserbilanzkomponenten am Niederschlag 2011 - 2020

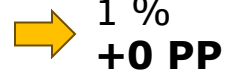
**Niederschlag** 



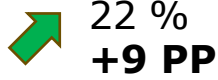
**Evapotranspiration** 



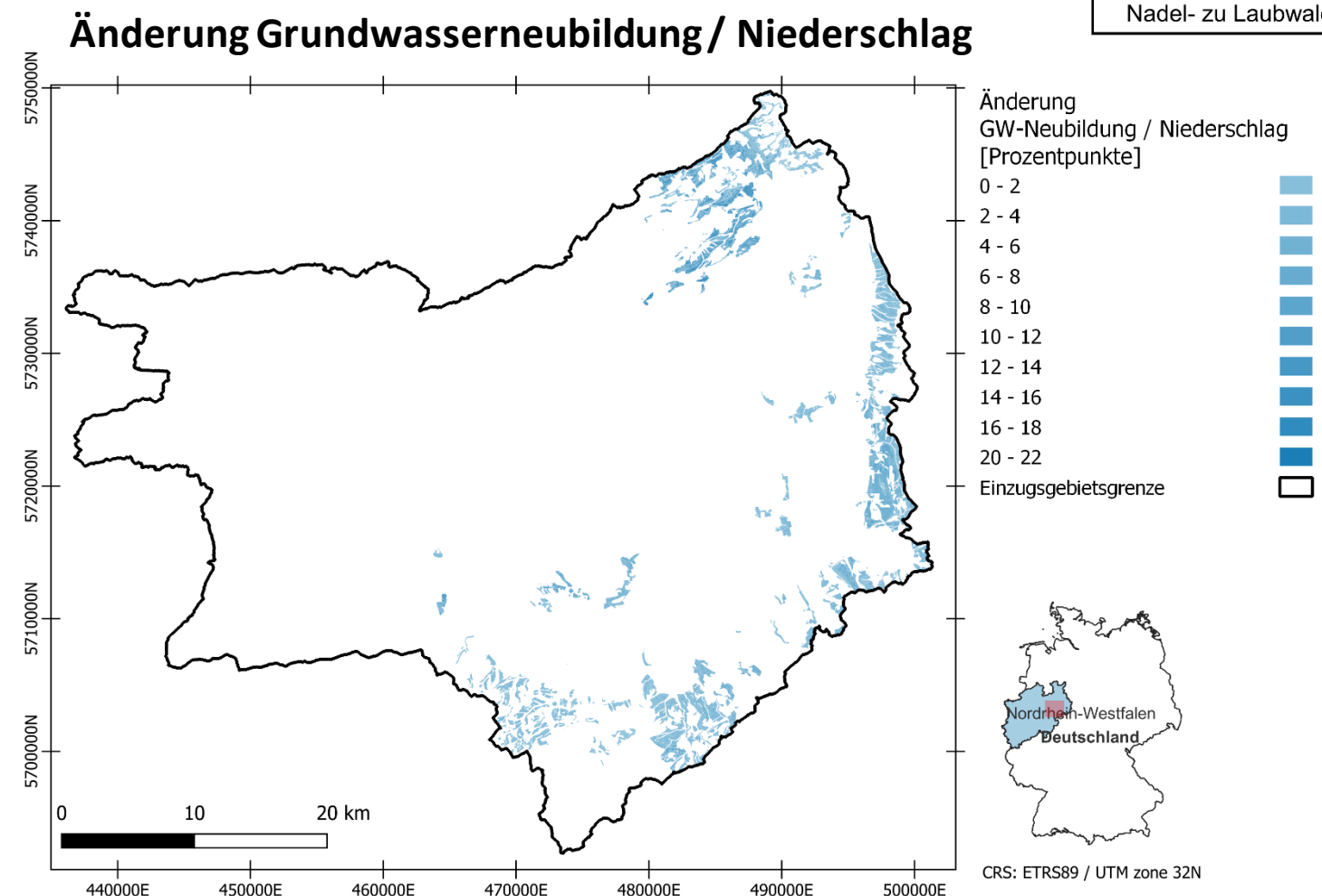
**Oberflächenabfluss** 



**Lateraler Abfluss** 



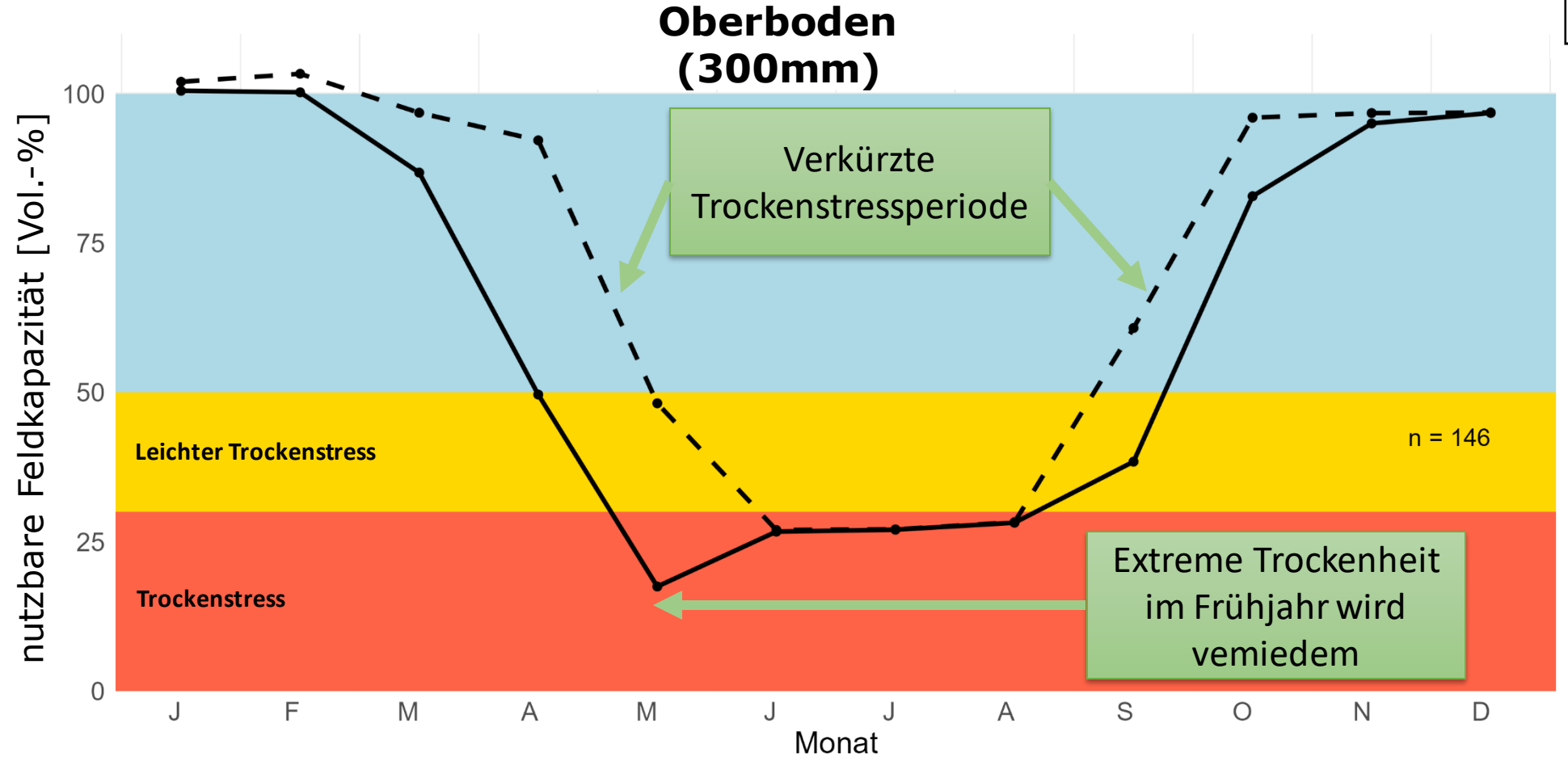


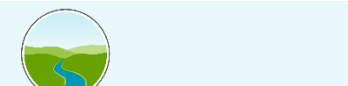




### Änderungen des Bodenwassergehalts

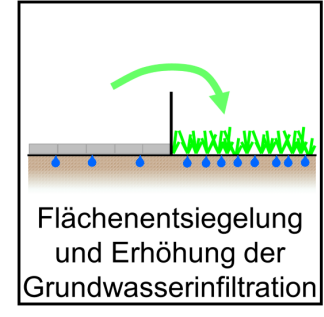






Schwellenwerte nach UFZ Dürremonitor Deutschland

Basisszenario - Anpassungsszenario



Veränderung des Anteils der Wasserbilanzkomponenten am Niederschlag 2011 - 2020

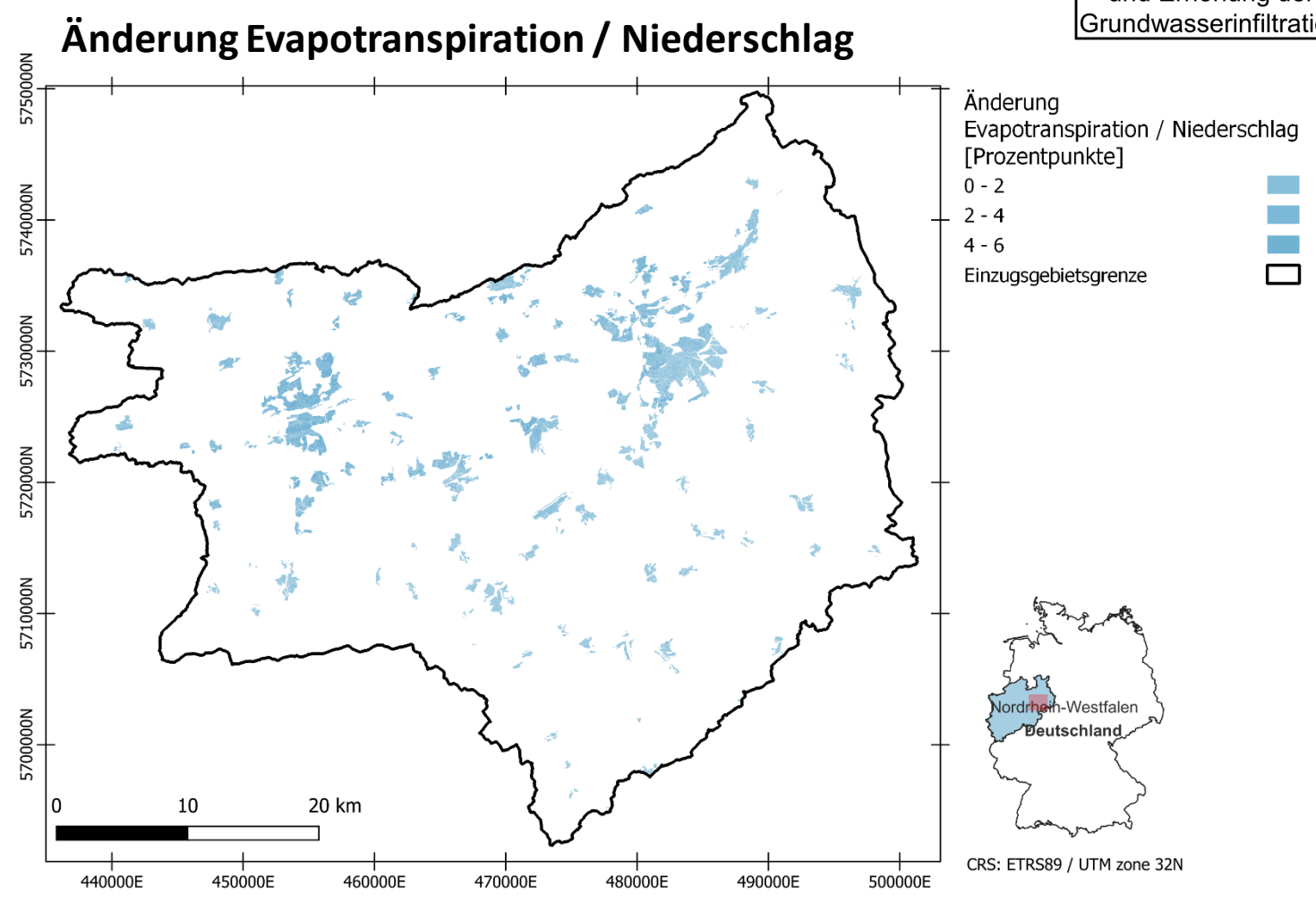
Niederschlag 676 mm

Evapotranspiration +2 PF

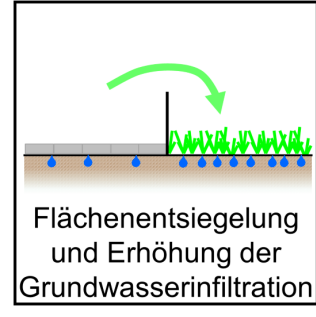
Oberflächenabfluss  $\frac{24 \%}{-4 pp}$ 

Lateraler Abfluss  $\Rightarrow {}^{0\%}_{+0}_{Pl}$ 

Grundwasserneubildung 4 % +1 pp





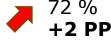


Veränderung des Anteils der Wasserbilanzkomponenten am Niederschlag 2011 - 2020

Niederschlag



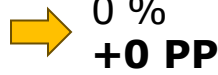
**Evapotranspiration** 



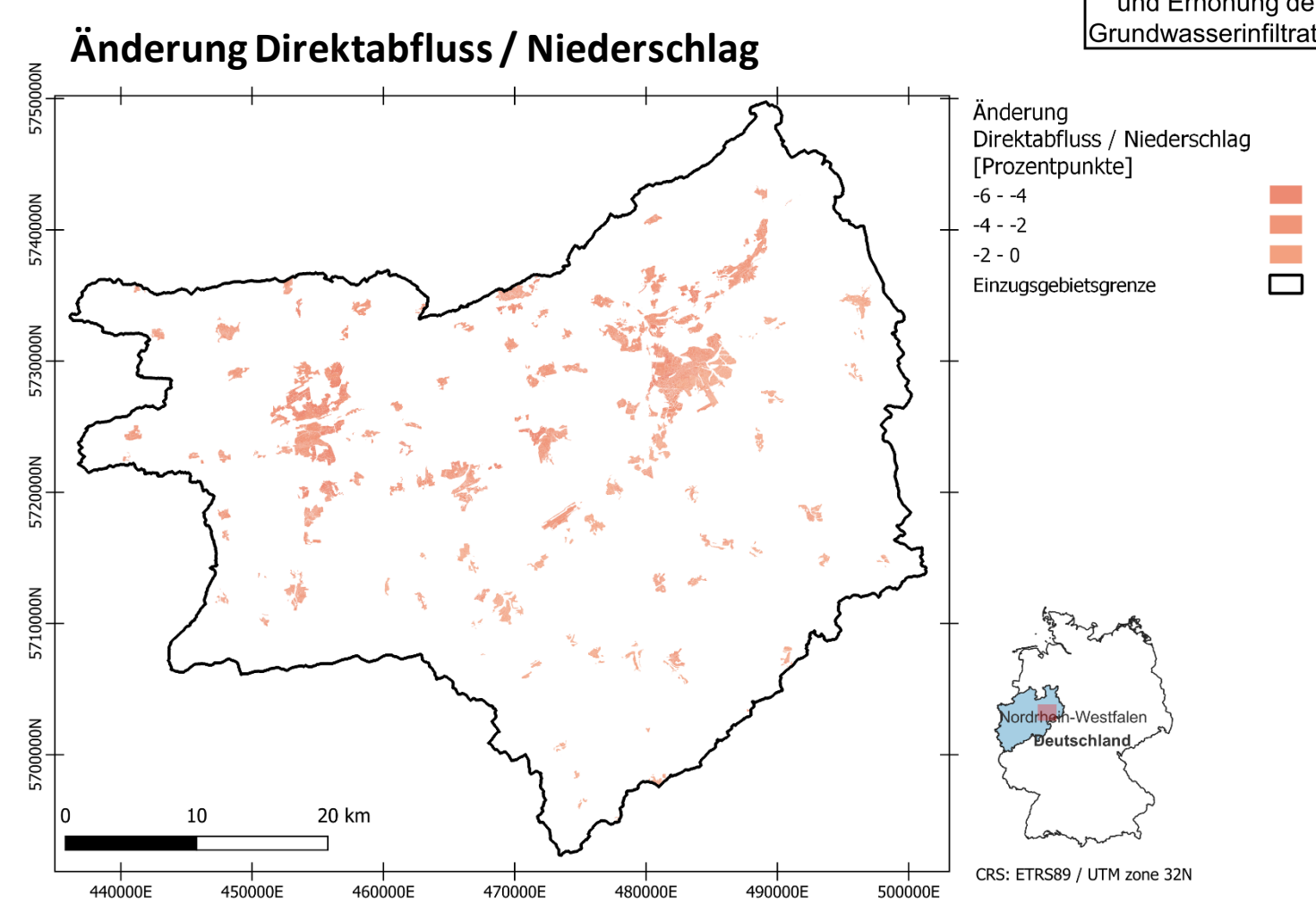
Oberflächenabfluss



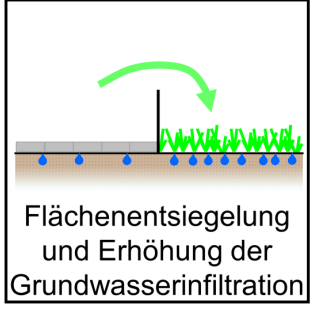
**Lateraler Abfluss** 









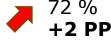


Veränderung des Anteils der Wasserbilanzkomponenten am Niederschlag 2011 - 2020

Niederschlag



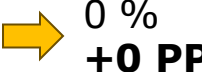
**Evapotranspiration** 

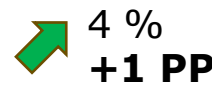


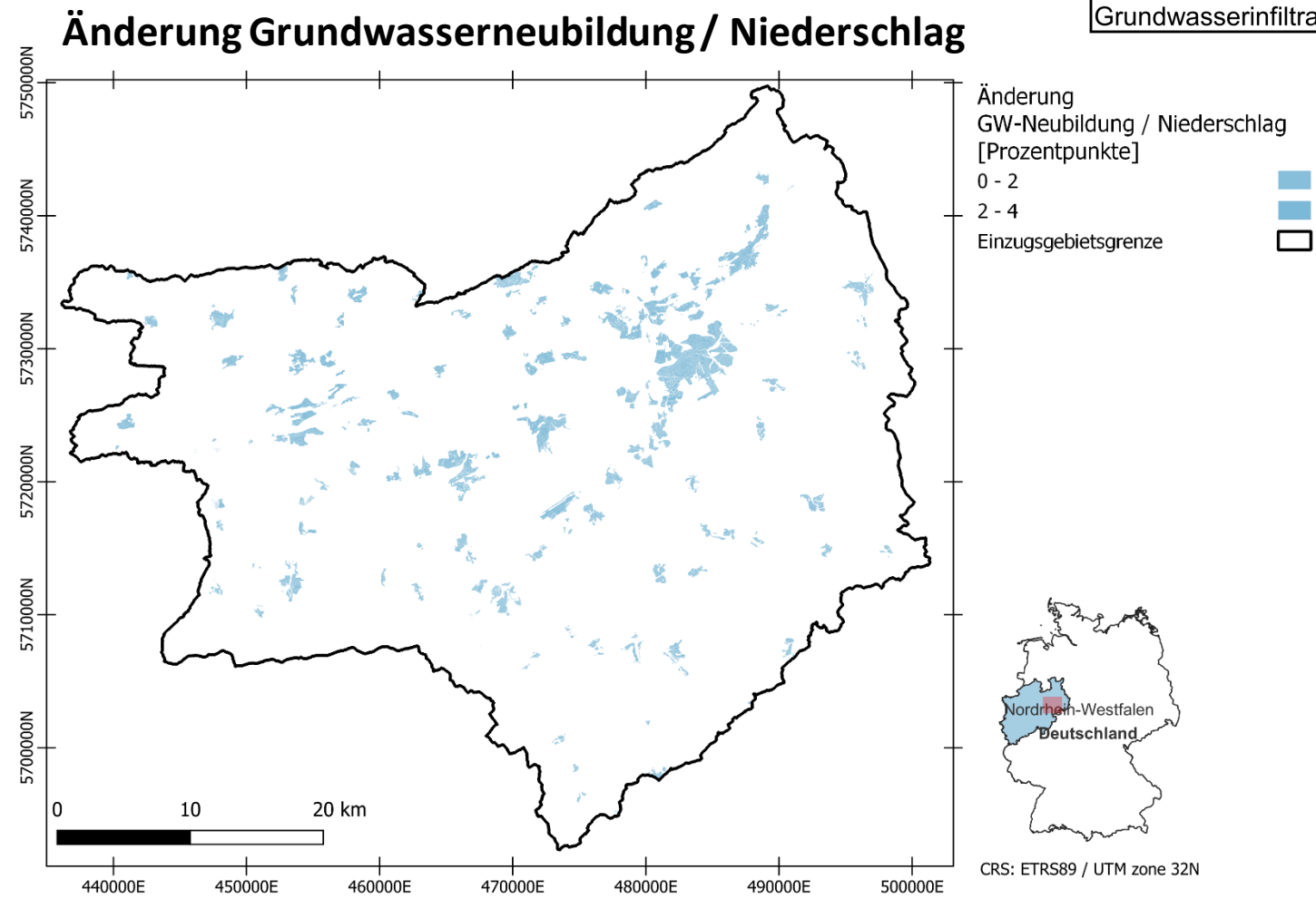
**Oberflächenabfluss** 



**Lateraler Abfluss** 









#### **Fazit**

- Landbedeckungssänderungen können den Wasserrückhalt in der Landschaft erhöhen
  - Evapotranspiration von Agrar- und Waldflächen wird stark reduziert
  - Oberflächenabfluss von bebauten Gebieten wird reduziert
  - Langsam reagierende Speicher Grundwasser und Bodenwasser werden gestärkt
- Dürreresilientere Pflanzen entziehen dem Boden weniger Wasser, wodurch Trockenstress vermieden werden kann
- In bebauten Gebieten dient die Erhöhung der Evapotranspiration zur Vermeidung von Hitzestress
- Schneller Drainageabfluss steigt auf Agrarflächen >> steuerbare Drainagen als komplementäre Maßnahme?





Christian-Albrechts-Universität zu Kiel



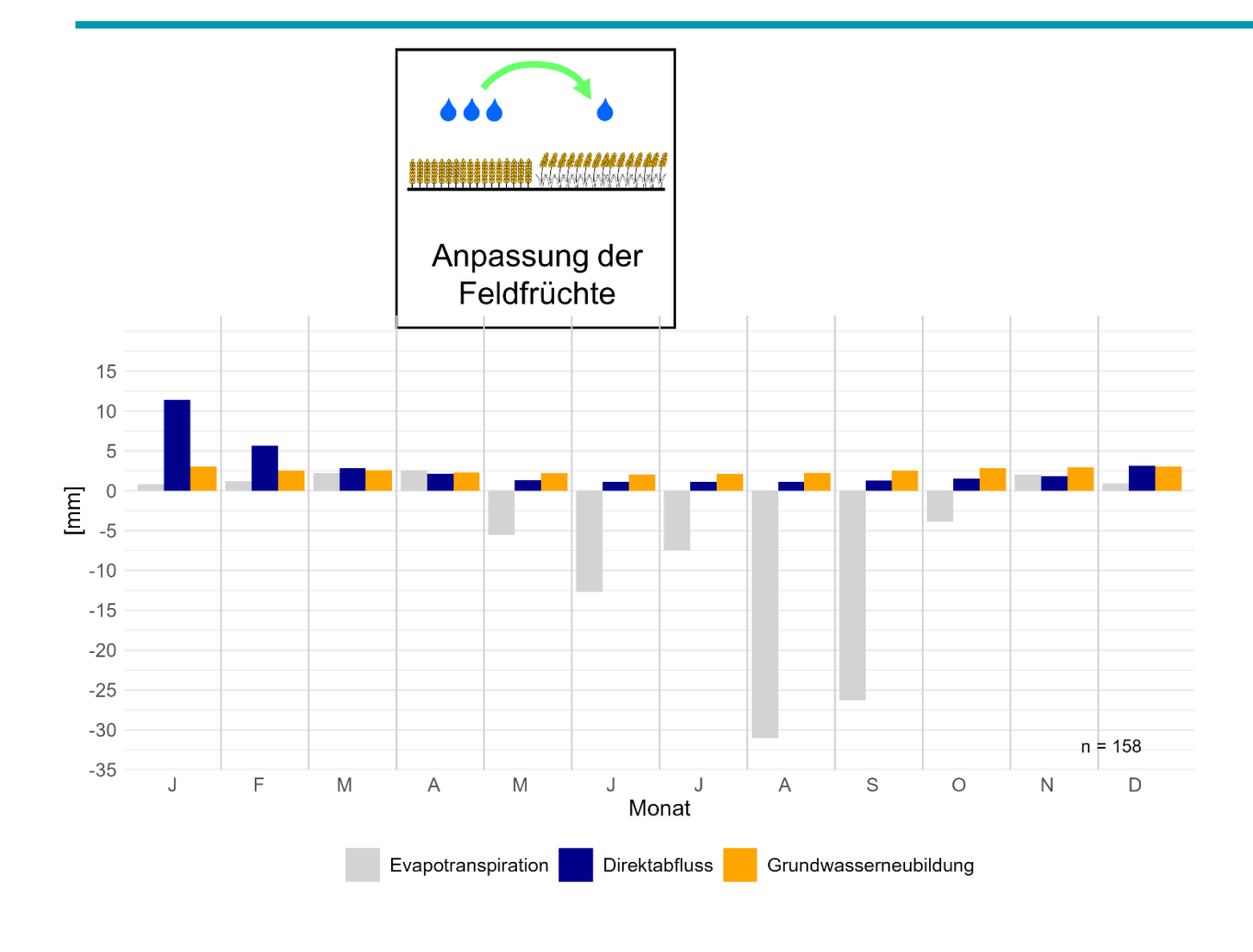


## Backup: Änderungen im Jahresverlauf





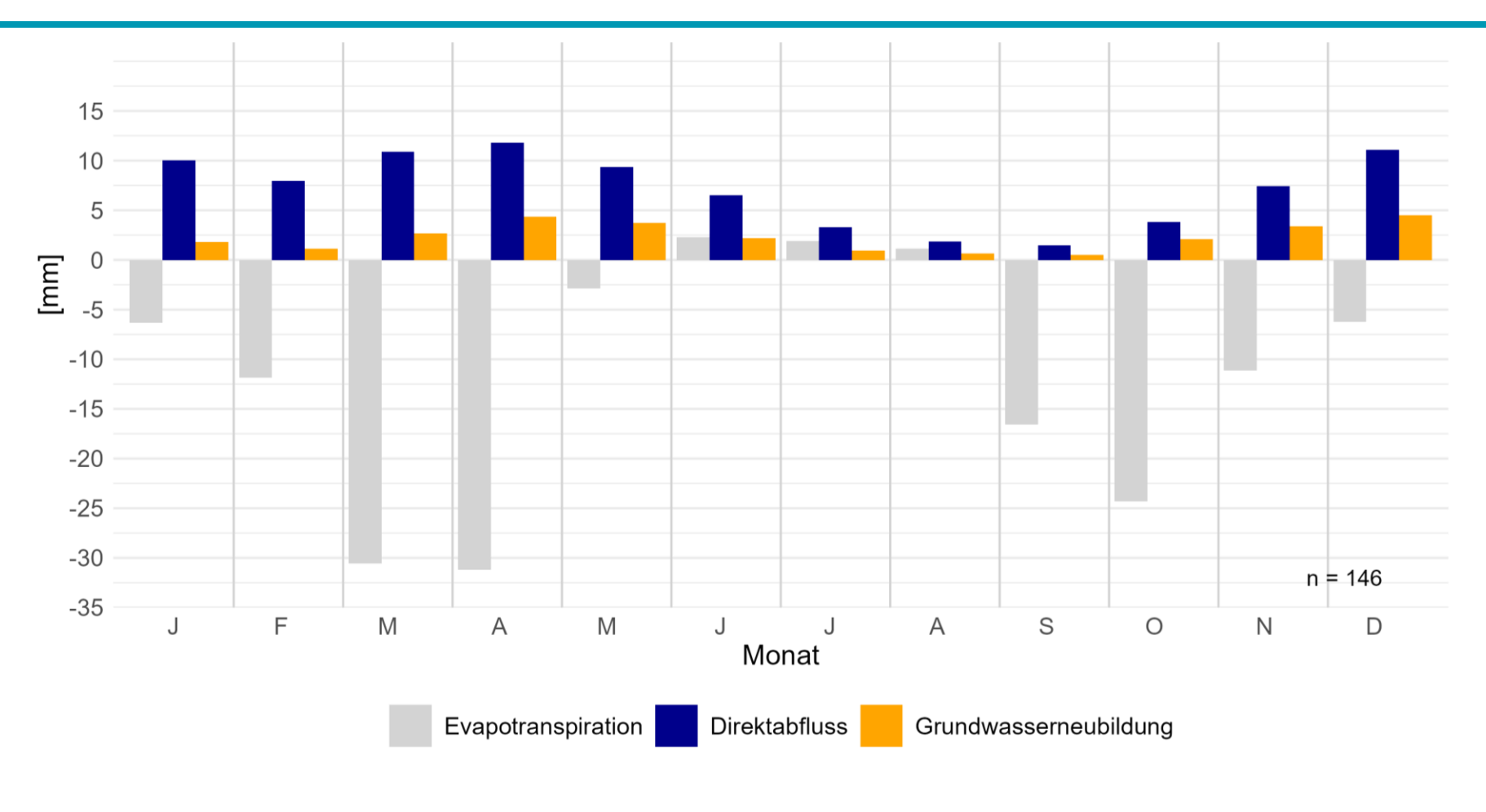
#### Änderungen im Jahresverlauf





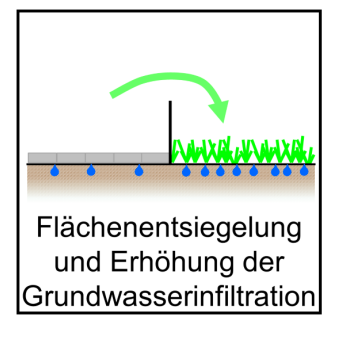
### Änderungen im Jahresverlauf

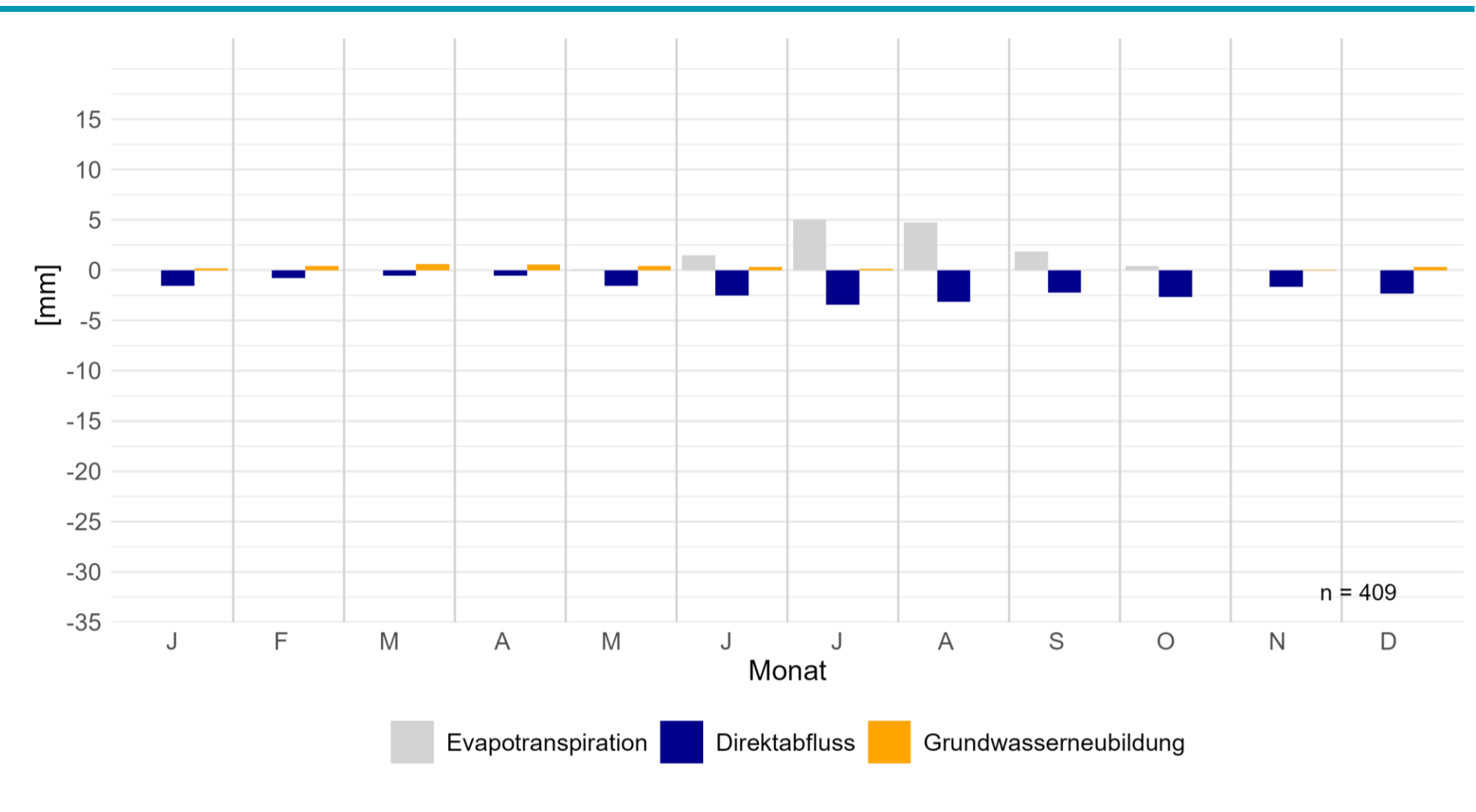






#### Änderungen im Jahresverlauf





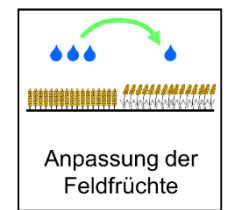


## Backup: Parametrisierung









- Detaillierte <u>Landnutzungskarte</u> und Identifizierung gängiger <u>Fruchtfolgen</u> Datenbank landwirtschaftlich genutzter Parzellen (InVeKoS) von 2016-2022
- <u>Landbewirtschaftungsparameter</u> auf Basis von Literatur (KTBL, 2009) und Experteninterviews mit der regionalen Landwirtschaftskammer (2024)
- Für <u>Hirse</u> (Sorghum bicolor LM) basierend auf Feldversuchen (Bayerisches LfL, 2024)



Kulturlandschaft im Lippeeinzugsgebiet, 2024



Feldversuche mit Sorghumhirse



#### Parametrisierung: Waldflächen



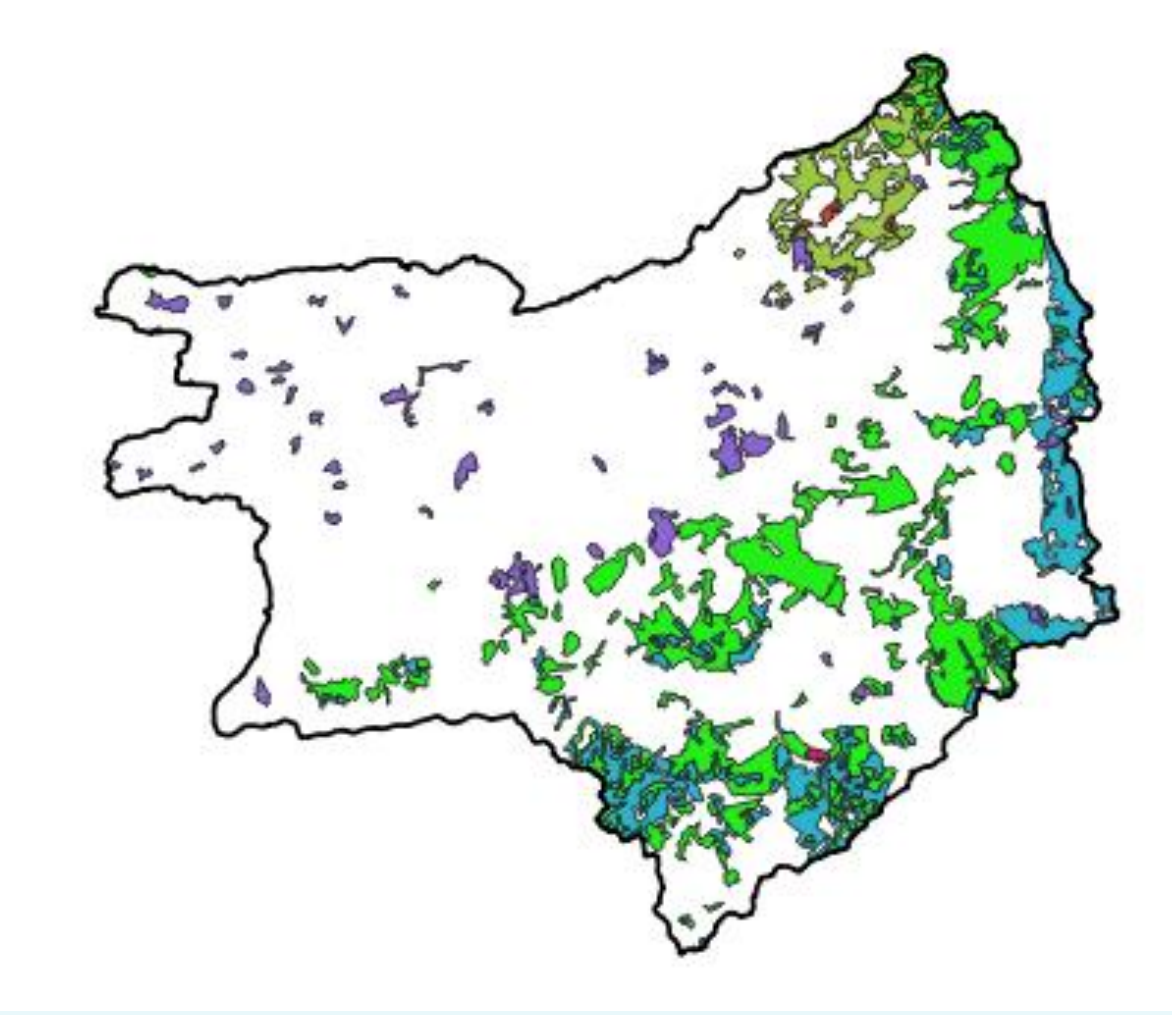
## <u>Dominante Baumarten</u> auf Waldflächen (CORINE 2018) identifiziert

Thünen Waldatlas, Blickensdörfer et al., 2024

Dominante Baumart
Birke
Buche
Eiche
Fichte
Kiefer

<u>Angepasste Baumparameter</u> anstelle der SWAT+ Standardparameter

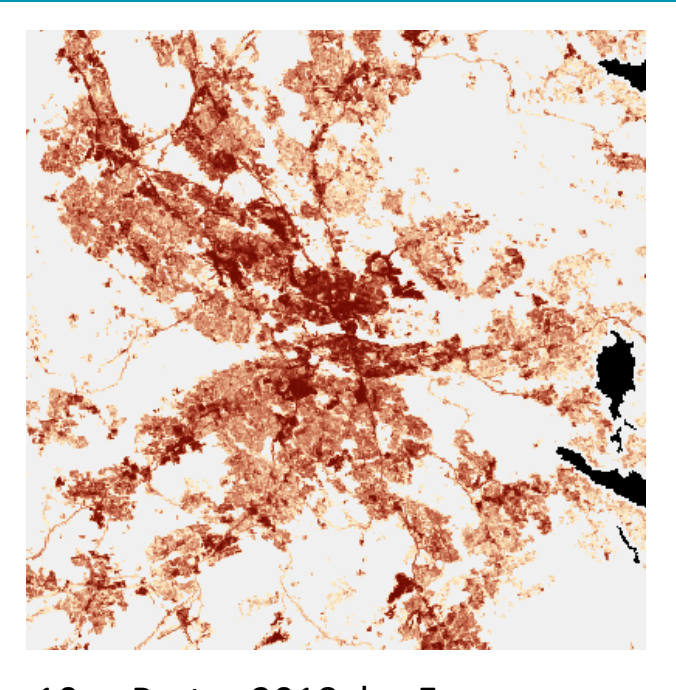
Müller, 2022



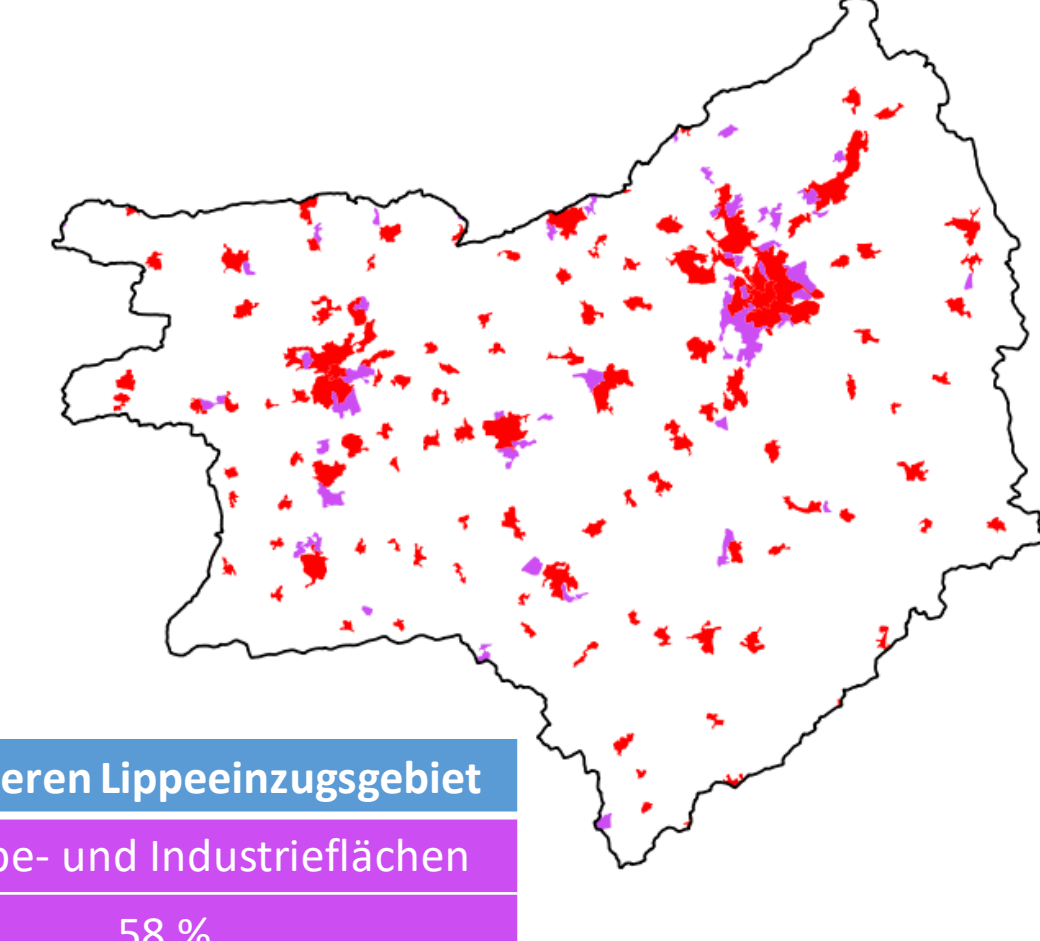


#### Parametrisierung: Versiegelte Flächen





10 m Raster 2018 der European Environment Agency (EEA, 2020)



Durchschnittlicher Versiegelungsgrad im oberen Lippeeinzugsgebiet

Siedlungsflächen Gewerbe- und Industrieflächen
46 % 58 %

